



Universidade Federal do Amazonas

Faculdade de Tecnologia  
Engenharia Elétrica - Eletrônica

# **Sistema de Gerenciamento e Controle do Consumo de Energia Elétrica para Condicionadores de Ar Baseado em Internet das Coisas**

**Magno Aguiar de Carvalho**

Manaus – Amazonas

Fevereiro de 2019

Magno Aguiar de Carvalho

# **Sistema de Gerenciamento e Controle do Consumo de Energia Elétrica para Condicionadores de Ar Baseado em Internet das Coisas**

Monografia apresentada à Coordenação do Curso de Engenharia Elétrica - Eletrônica da Universidade Federal do Amazonas, como parte dos requisitos necessários à obtenção do título de Engenheiro Eletricista.

Orientador: Prof. Dr. Vicente Ferreira de Lucena Junior

# Resumo

Palavras-chave: .

# Abstract

Keywords: .

# Sumário

<b>Lista de Algoritmos</b>	<b>iii</b>
<b>Abreviações</b>	<b>iv</b>
<b>1 Introdução</b>	<b>1</b>
1.1 Objetivo Geral . . . . .	1
1.2 Objetivos Específicos . . . . .	1
1.3 Organização do trabalho . . . . .	1
<b>2 Fundamentação Teórica</b>	<b>2</b>
2.1 Internet das Coisas . . . . .	2
2.2 Wi-Fi . . . . .	2
2.3 Protocolo MQTT . . . . .	2
2.4 Topologias de Medição . . . . .	2
2.4.1 Métodos de medição de energia elétrica . . . . .	2
2.5 Dispositivos de Chaveamento elétrico . . . . .	2
<b>3 Arquitetura</b>	<b>3</b>
<b>4 Desenvolvimento</b>	<b>4</b>
4.1 <i>Hardware</i> . . . . .	4
4.1.1 Componentes utilizados . . . . .	5
4.1.2 Esquemáticos elétricos . . . . .	8
4.1.3 <i>Layout</i> da PCB . . . . .	8
4.1.4 Fabricação . . . . .	9
4.1.5 Módulo placa de automação de refrigeração residencial . . . . .	9

---

4.2	<i>Firmware</i> . . . . .	9
4.2.1	Comunicação Wi-Fi e MQTT . . . . .	10
4.2.2	Monitoramento de presença humana . . . . .	10
4.2.3	Monitoramento da qualidade da energia elétrica . . . . .	10
4.3	<i>Software</i> . . . . .	10
4.3.1	Interação com a Placa de Automação de Refrigeração Residencial . . .	10
<b>5</b>	<b>Testes e Avaliação de Desempenho</b>	<b>11</b>
<b>6</b>	<b>Conclusão</b>	<b>12</b>
<b>A</b>	<b>Esquemáticos Elétricos</b>	<b>13</b>
<b>B</b>	<b><i>Layout</i> da PCB</b>	<b>17</b>
	<b>Referências Bibliográficas</b>	<b>23</b>

# **Lista de Algoritmos**

# Abreviações

**PCB** - Placa de circuito impresso - do inglês *Printed Circuit Board*

**USB** - Barramento universal serial - do inglês *Universal Serial Bus*

**I2C** - Circuito inter-integrado - do inglês *Inter-Integrated Circuit*

**UART** - Receptor-transmissor universal assíncrono - do inglês *Universal Asynchronous Receiver-Transmitter*

**MQTT** - Protocolo de mensagens entre máquinas - do inglês *Message Queuing Telemetry Transport*

**LED** - Diodo emissor de luz - do inglês *Light-Emitting Diode*

**OTA** - Pelo ar - do inglês *Over-The-Air*

**SDIO** - Entrada e saída digital segura - do inglês *Secure Digital Input Output*

**SPI** - Interface periférica serial - do inglês *Serial Peripheral Interface*

**I2S** - Som entre circuito-integrados - do inglês *Inter-IC Sound*

**GPIO** - Entrada e saída de uso geral - do inglês *General Purpose Input Output*

**ADC** - Conversor analógico/digital - do inglês *Analog to Digital Converter*

**PWM** - Modulação por largura de pulso - do inglês *Pulse Width Modulation*

**SMD** - Componente para montagem em superfície - do inglês *Surface Mounting Device*



# **Capítulo 1**

## **Introdução**

### **1.1 Objetivo Geral**

### **1.2 Objetivos Específicos**

### **1.3 Organização do trabalho**

# **Capítulo 2**

## **Fundamentação Teórica**

### **2.1 Internet das Coisas**

### **2.2 Wi-Fi**

### **2.3 Protocolo MQTT**

### **2.4 Topologias de Medição**

#### **2.4.1 Métodos de medição de energia elétrica**

### **2.5 Dispositivos de Chaveamento elétrico**

## **Capítulo 3**

### **Arquitetura**

# Capítulo 4

## Desenvolvimento

Este capítulo apresenta detalhadamente o que foi feito para desenvolver e implementar o sistema de gerenciamento e controle de um condicionador de ar, levando em conta 3 pilares principais: *Hardware*, *Firmware* e *Software*.

### 4.1 *Hardware*

O desenvolvimento do *hardware* iniciou-se com o levantamento dos circuitos elétricos necessários para cumprir as funções requeridas conforme a concepção do projeto, sendo eles: **Circuito de Conexão com Wi-Fi**, **Circuito de Ativação do Condicionador de Ar** e **Circuito de Medição da Qualidade e Consumo da Energia Elétrica**. O Circuito de Conexão com Wi-Fi é responsável por trocar informações com o aplicativo mobile, utilizando o protocolo MQTT. O Circuito de Ativação do Condicionador de Ar é responsável por permitir ou não a alimentação elétrica desse dispositivo. E o Circuito de Medição da Qualidade e Consumo da Energia Elétrica é responsável por realizar as medições provenientes da rede elétrica como tensão, corrente, fator de potência e frequência.

A elaboração da PCB contendo os circuitos foi dividida em 4 partes principais: a escolha dos componentes a serem usados em cada circuito, o desenvolvimento dos esquemáticos elétricos, o desenvolvimento do *layout* da placa de circuito impresso (PCB) e a prototipagem da PCB.

### 4.1.1 Componentes utilizados

Para realizar a escolha dos componentes foi levado em conta principalmente o custo, visando tornar o produto atrativo ao usuário final, ou seja, o consumidor.

Para suprir as funcionalidades do **Circuito de Conexão com Wi-Fi**, o componente principal escolhido foi o módulo ESP12-F, representado na figura 4.1, que contém um microcontrolador juntamente com o circuito de radio-frequência (RF) para o *Wi-Fi* e um LED indicativo. O microcontrolador contido no módulo é o ESP8266EX, representado na figura 4.2, e suas principais características são [1]:

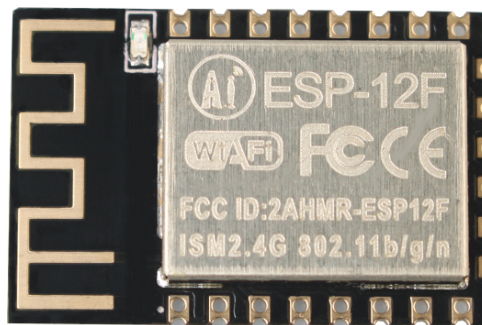


Figura 4.1: Módulo ESP12-F [2].



Figura 4.2: Microcontrolador ESP8266EX [3].

- Microprocessador de 32 bits;
- *Wi-Fi* integrado sob o protocolo 802.11 b/g/n, na frequência de 2.4GHz;
- Interface periféricas: UART, SDIO, SPI, I2C, I2S, GPIO, ADC e PWM;
- Tensão de operação: 2,5V a 3,6V;

- Corrente de operação: em média 80mA;
- Tamanho: 5 mm x 5 mm;
- 32 pinos;
- Interface de gravação tanto por UART, quanto por *over-the-air* (OTA);
- Até 4 perfis de baixo consumo de energia.

Foram adicionados 2 (dois) *light-emitting diodes* (LEDs) do tipo *surface mounting device* (SMD), representado na figura 4.3, a este circuito também, um para indicar comunicação com o celular pelo protocolo MQTT e um para indicar se a alimentação elétrica da PCB está nos níveis corretos, assim como 2 (dois) botões do tipo *push-button*, representado na figura 4.4, para realizar a gravação do *firmware* no microcontrolador.

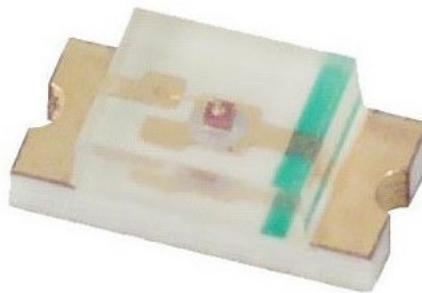


Figura 4.3: Microcontrolador ESP8266EX [4].



Figura 4.4: Microcontrolador ESP8266EX [5].

Para o **Circuito de Ativação do Condicionador de Ar**, o principal componente escolhido foi o relé SRD-05VDC-SL-C, representado na figura 4.5, quais características principais são:

- Tensão de ativação do enrolamento: 5 V;
- Corrente nominal do enrolamento: 89,3 mA;
- Resistência do enrolamento: 55  $\Omega$ ;
- Consumo de potência do enrolamento: 0.36 W;
- Máxima tensão admissível no chave: 110 VDC ou 225 VAC;
- Capacidade de corrente da chave para carga do tipo resistiva: 10 A para 125 VAC e 7 A para 240 VAC.



Figura 4.5: Relé SRD-05VDC-SL-C [6].

O relé SRD-05VDC-SL-C é utilizado para ativar uma contatora que, por sua vez, alimenta o condicionador de ar. A contatora utilizada é a ??????????????

Para o **Circuito de Medição da Qualidade e Consumo da Energia Elétrica**, o principal componente escolhido foi MCP39F521, representado na figura 4.6, que é responsável por fazer as medições da tensão, corrente, fator de potência e frequência da rede de energia elétrica, informações essas suficientes para definir se ela está adequada para alimentar o condicionador de ar. O MCP39F521 é um dispositivo de monitoramento de energia monofásico completo e altamente integrado, projetado para medição em tempo real de energia de entrada para fontes

de alimentação CA / CC, unidades de distribuição de energia, consumidor e aplicações industriais. Inclui ADCs delta-sigma de canal duplo, um mecanismo de cálculo de 16 bits, EEPROM e uma interface I2C de dois fios flexível. Uma referência integrada de voltagem de baixa derivação com 10 ppm / ° C além de 94,5 dB de desempenho de sinal-ruído e taxa de distorção (SINAD) em cada canal de medição permite melhor que 0,1 % de projetos precisos em uma faixa dinâmica de 4000:1.



Figura 4.6: Circuito Integrado MCP39F521 [7].

#### 4.1.2 Esquemáticos elétricos

#### 4.1.3 *Layout* da PCB

Para realizar o *layout* da PCB, foi necessário levar em conta os pontos críticos do circuito, que foram:

1. Apresentar tensão alternada de 110 ou 220 volts nominal, para alimentação do circuito mostrado nas Imagens A.2, A.3 e A.1, e os terminais de controle da contatora.
2. Apresentar um LED



#### 4.1.4 Fabricação

#### 4.1.5 Módulo placa de automação de refrigeração residencial

### 4.2 *Firmware*

Para elaboração inicial do *firmware*, foi utilizado o módulo NodeMCU Lol1n, mostrado na figura 4.7, que contém um módulo ESP-12E porém com os circuitos de alimentação e gravação por interface USB já embutidos nele. Esta metodologia de utilizar um módulo pronto foi utilizada com intuito de diminuir o tempo gasto com a elaboração de um circuito para gravação do microcontrolador e também para permitir o desenvolvimento do *firmware* antes do término da fabricação, montagem dos componentes e testes elétricos da PCB.

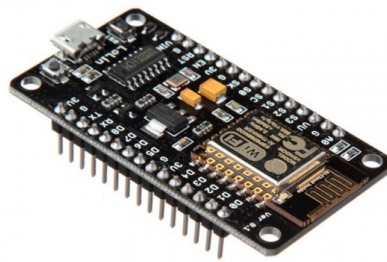


Figura 4.7: Módulo NodeMCU Lol1n.

#### **4.2.1 Comunicação Wi-Fi e MQTT**

#### **4.2.2 Monitoramento de presença humana**

#### **4.2.3 Monitoramento da qualidade da energia elétrica**

### **4.3 *Software***

#### **4.3.1 Interação com a Placa de Automação de Refrigeração Residencial**

##### **4.3.1.1 Comunicação**

##### **4.3.1.2 Requisição de Ligar e Desligar o Aparelho Ar Condicionado**

##### **4.3.1.3 Requisição para Obtenção de Dados da Qualidade da Energia Elétrica**

## **Capítulo 5**

### **Testes e Avaliação de Desempenho**

## **Capítulo 6**

### **Conclusão**

# Esquemáticos Elétricos

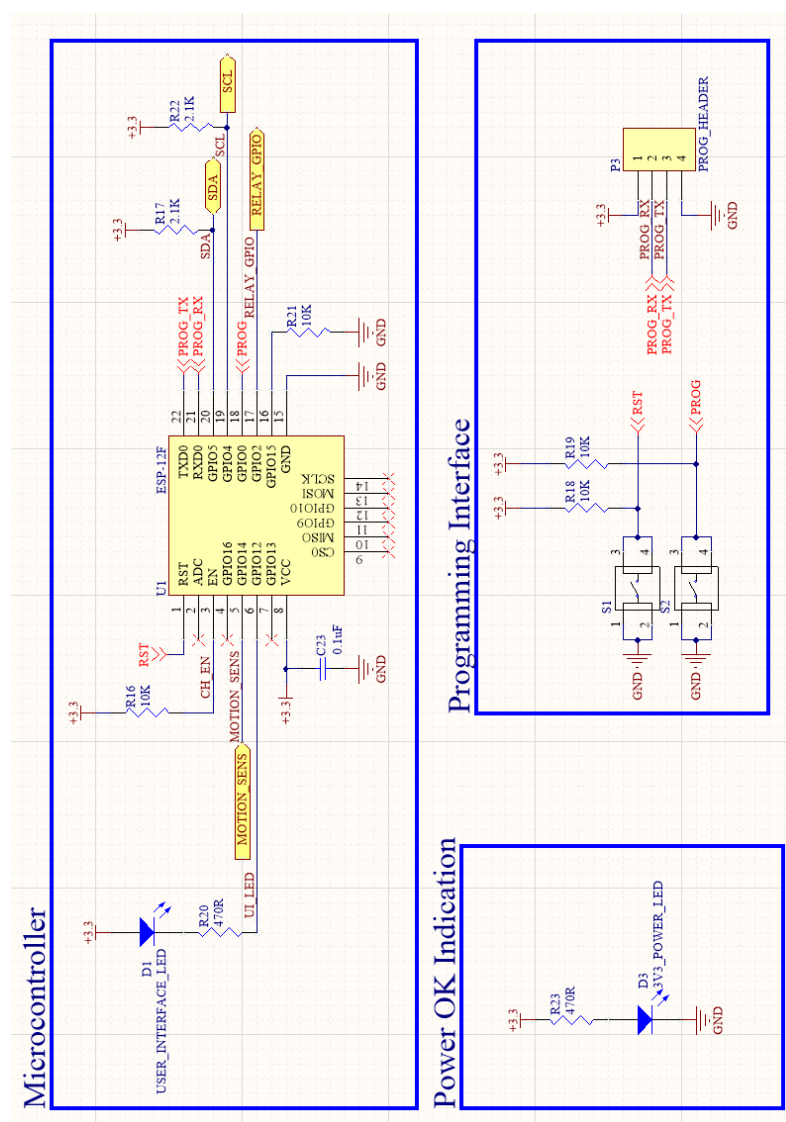


Figura A.1: Esquemático elétrico referente ao microcontrolador.

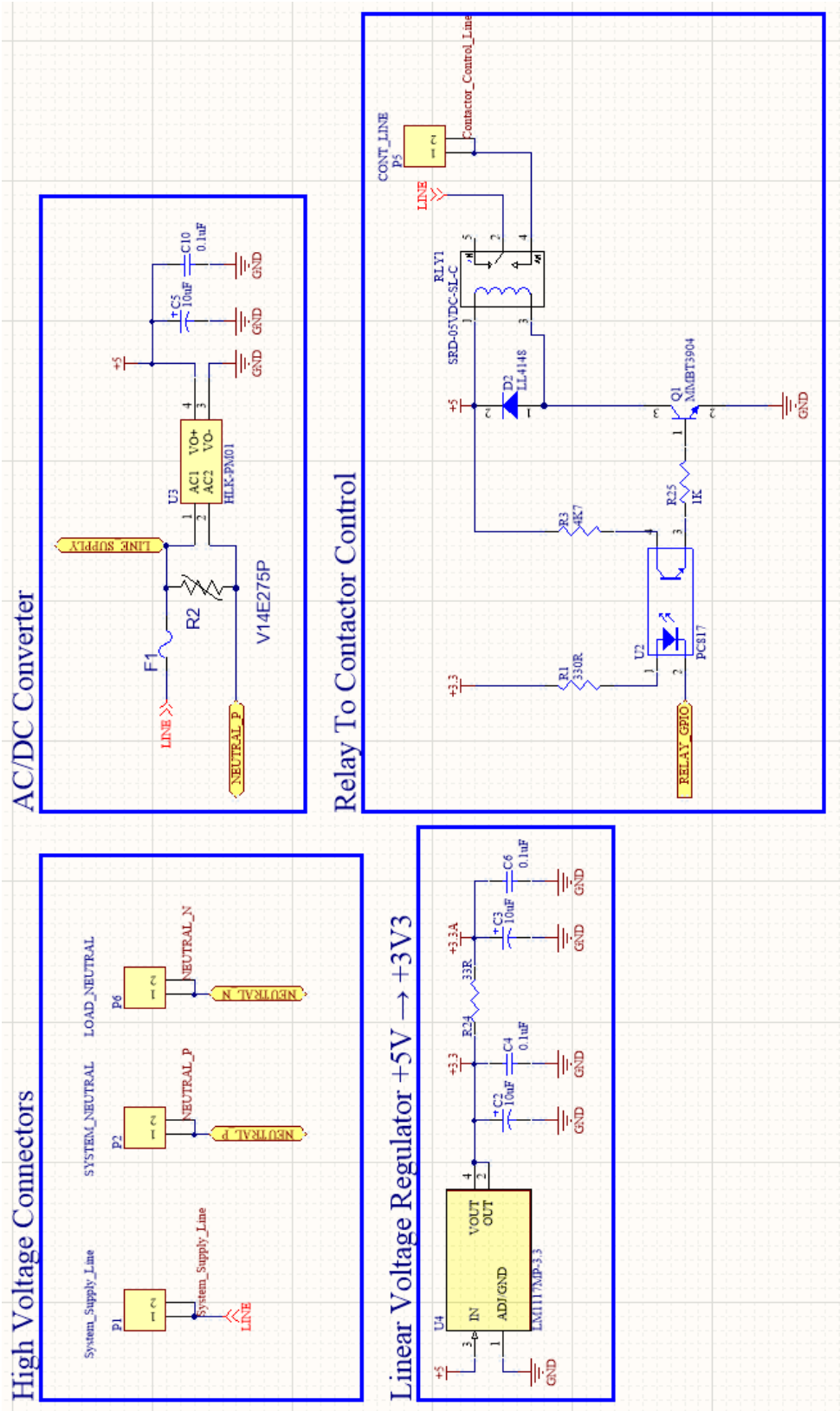
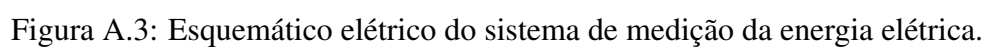


Figura A.2: Esquemático elétrico da alimentação do circuito.







## Apêndice B

### *Layout* da PCB

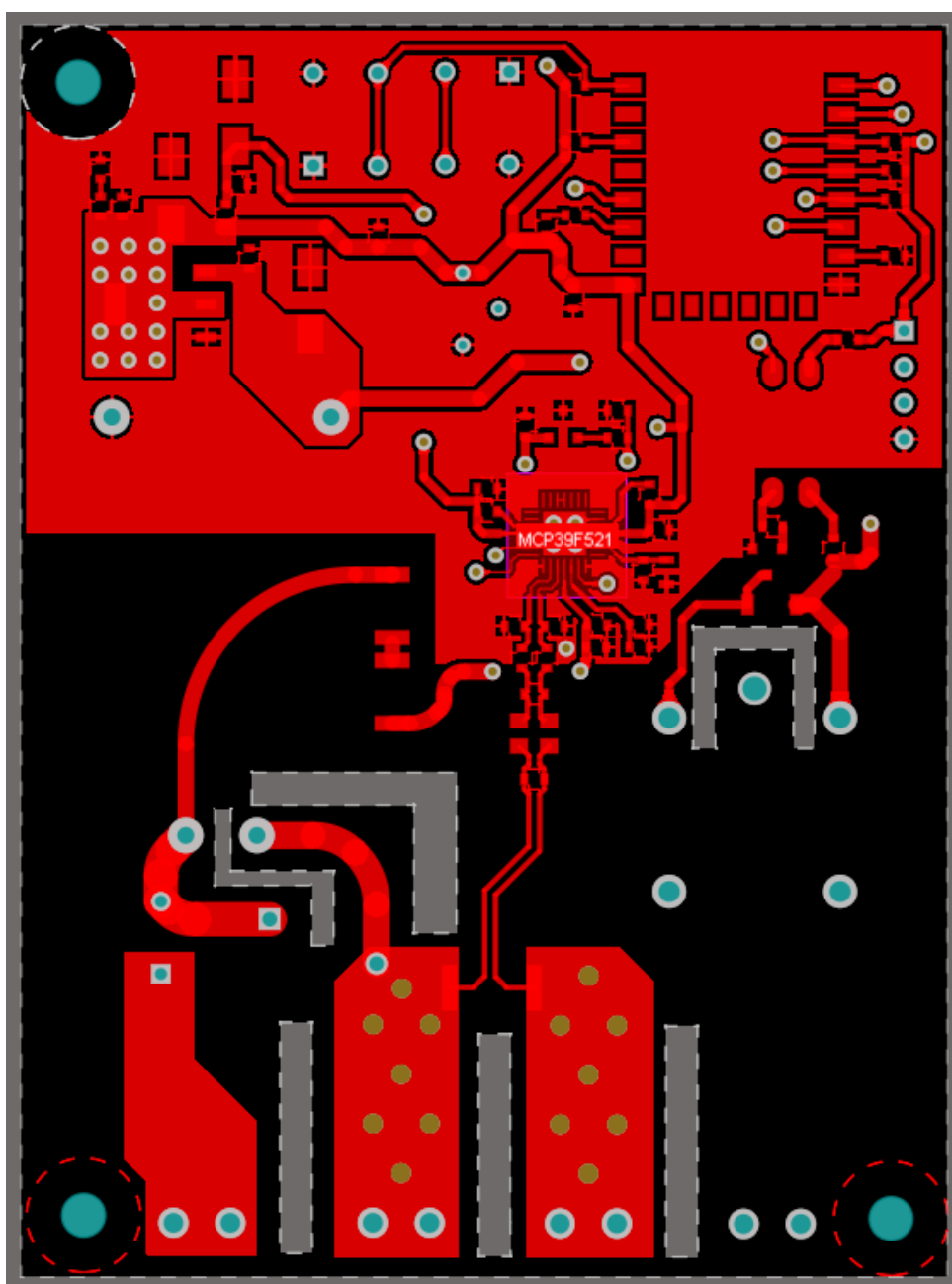


Figura B.1: *Top Layer* do *layout* da PCB.

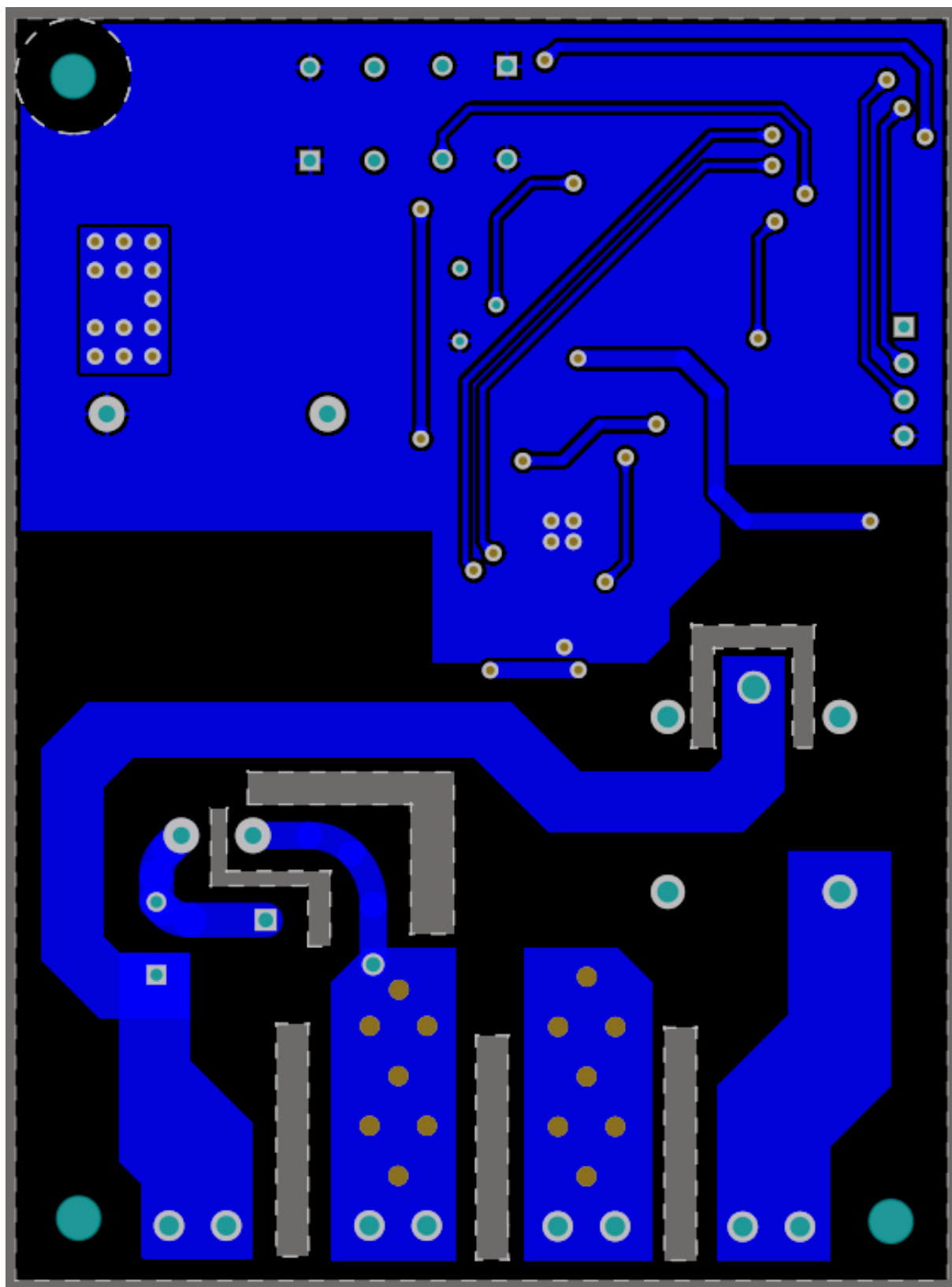


Figura B.2: *Bottom Layer* do layout da PCB.

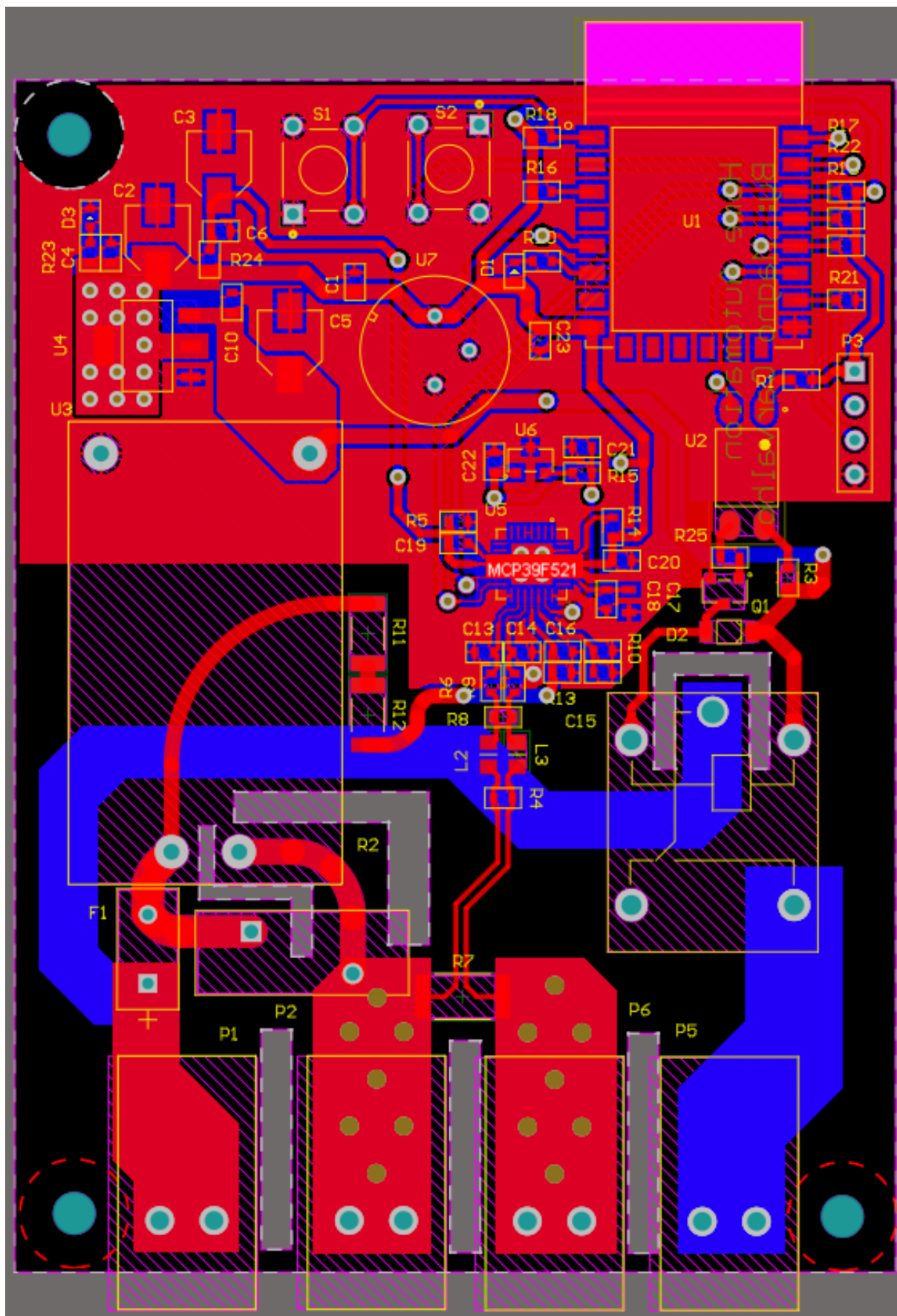
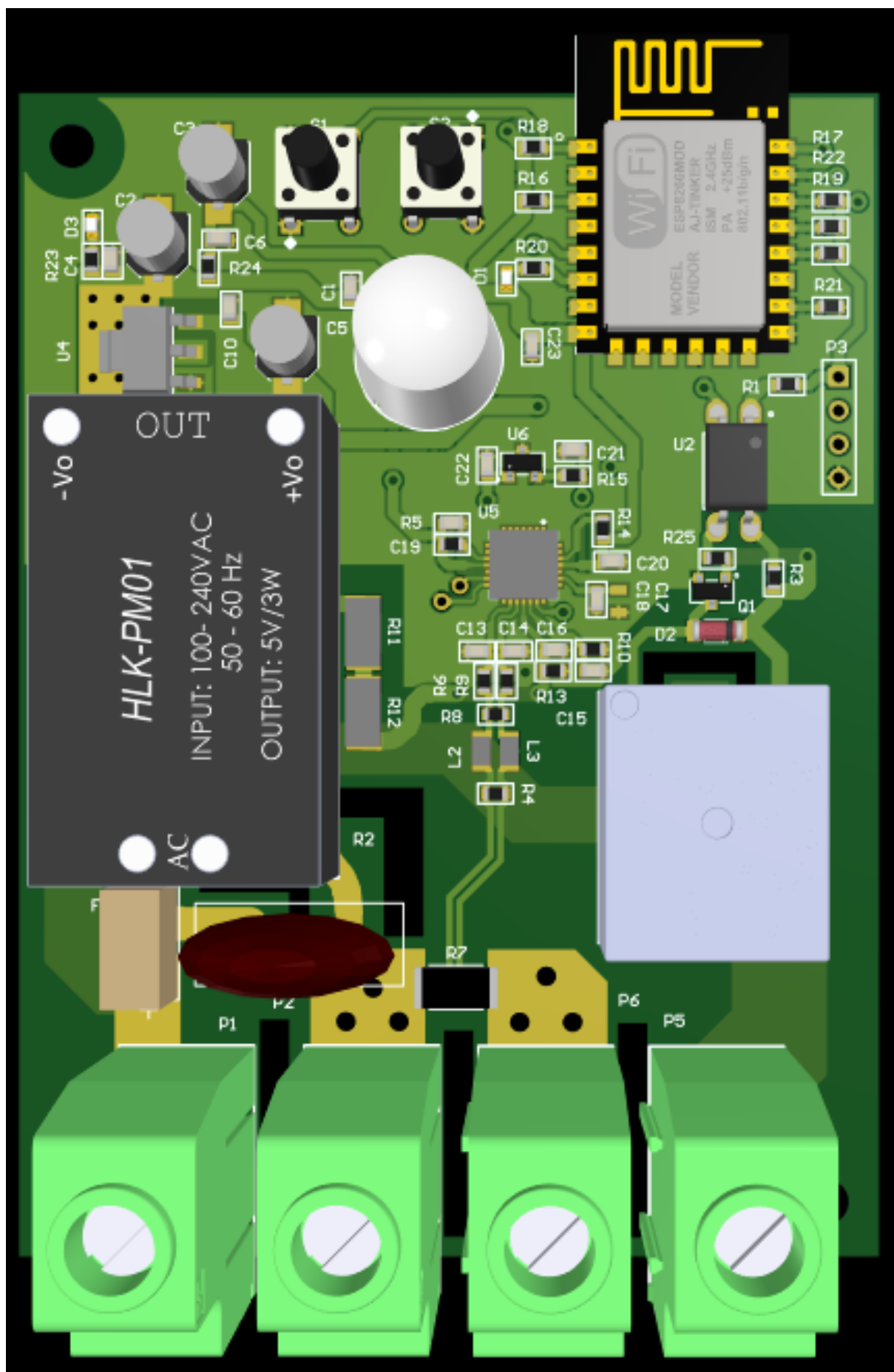


Figura B.3: Layout da PCB contendo os Layers Top e Bottom, os componentes e suas serigrafias.

Figura B.4: Visão superior da representação 3D do *layout* da PCB.

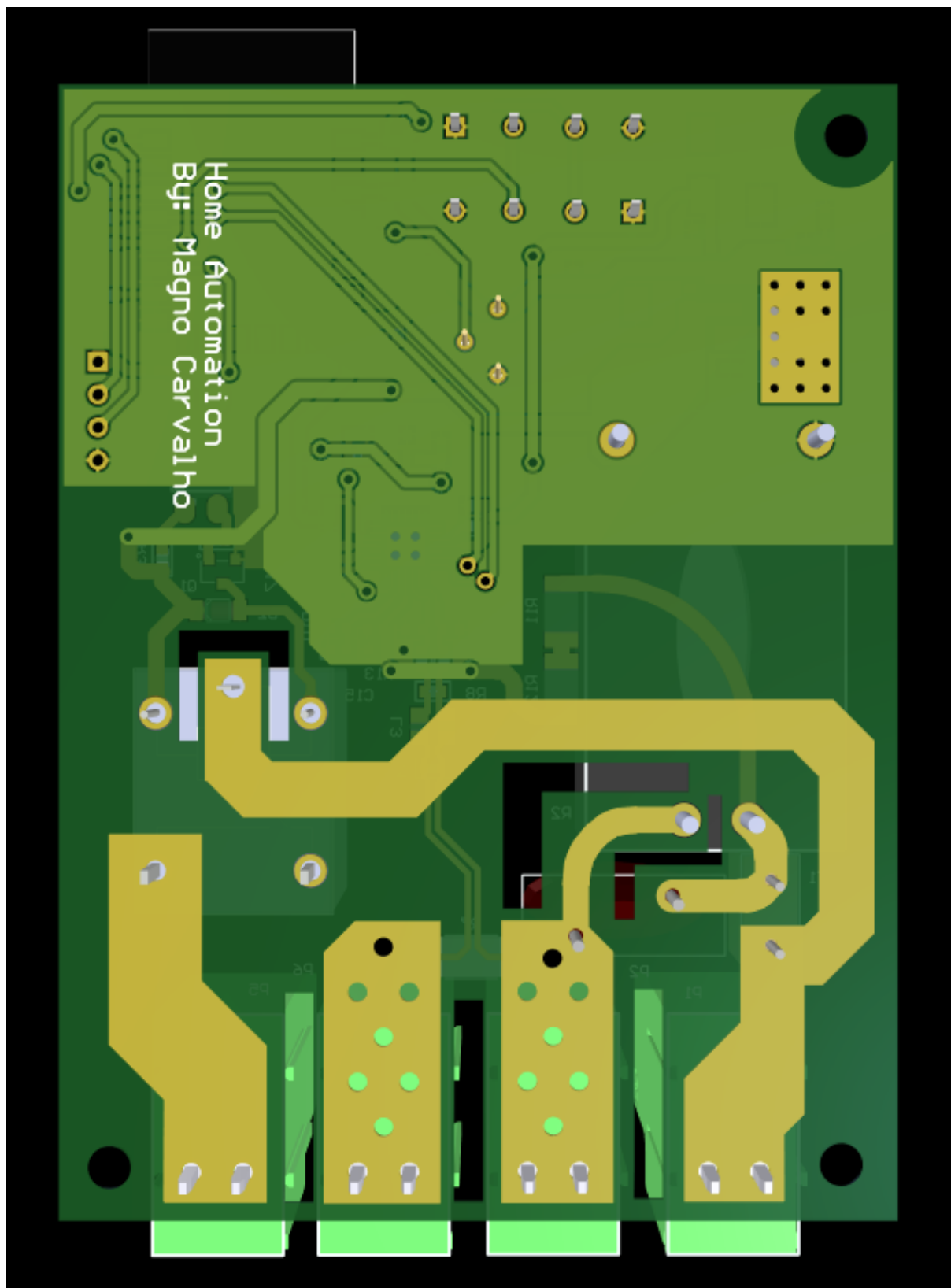


Figura B.5: Visão inferior da representação 3D do *layout* da PCB.

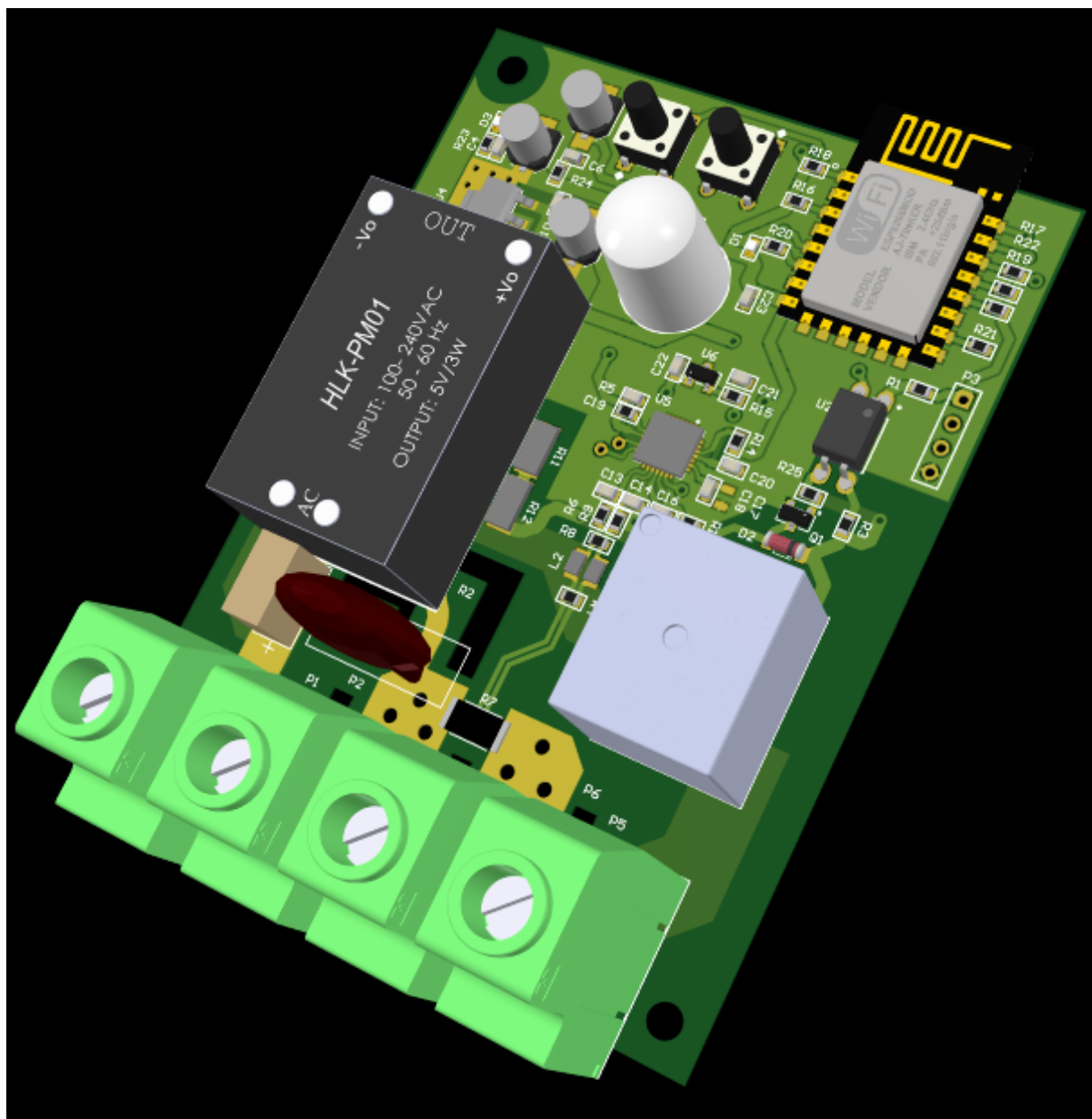


Figura B.6: Visão isométrica da representação 3D do *layout* da PCB.

# Referências Bibliográficas

- [1] SYSTEMS, E. Esp8266ex datasheet. 2018. Disponível em: <<https://www.espressif.com/sites/default/files/documentation/>>.
- [2] AI-THINKER. *ESP-12F WiFi*. 2017. Disponível em: <<https://www.ai-thinker.com/home>>.
- [3] ELECTRONICS, D.-K. *ESP8266EX*. 2017. Disponível em: <<https://www.digkey.com/product-detail/en/espressif-systems/ESP8266EX/1904-1001-1-ND/8028408>>.
- [4] ELETRÔNICA, E. *LED SMD 0603*. Disponível em: <<https://www.eletródex.com.br/led-smd-0603.html>>.
- [5] ARZ. *Botão Push Button*. Disponível em: <<https://www.arzshop.com.br/kit-15-botao-push-button-chave-tactil-6x6x5mm-arduino-mps430>>.
- [6] FILIPEFLOP. Relé 5v songle srd-05vdc-sl-c. Disponível em: <<https://www.filipeflop.com/produto/rele-5v-songle-srd-05vdc-sl-c/>>.
- [7] TECHNOLOGY, M. *MCP39F521*. Disponível em: <<https://www.microchip.com/wwwproducts/en/MC>>.